

# miR-19a 在正常妊娠及重度子痫前期患者胎盘中的表达\*

王桂锋<sup>1</sup> 王晓红<sup>1</sup> 尹国武<sup>1</sup> 朱晓明<sup>1</sup> 姚元庆<sup>2△</sup>

(1 第四军医大学唐都医院妇产科 陕西 西安 710038 2 解放军总医院妇产科 北京 100039)

**摘要 目的:**通过检测正常妊娠及重度子痫前期患者胎盘组织中 miR-19a 的表达,探讨其与子痫前期发病的关系。**方法:**收集 10 例重度子痫前期患者胎盘组织(实验组)和 10 例正常产妇胎盘组织(对照组),应用荧光实时定量 PCR (Real Time PCR)的方法检测两组 miR-19a 的表达差异。**结果:**重度子痫前期患者胎盘组织中 miR-19a 表达升高( $P<0.05$ )。**结论:**子痫前期患者胎盘组织中存在差异表达的 miRNA miR-19a 在胎盘组织中的高表达可能与子痫前期的发病有关。

关键词:子痫前期,微小 RNA,胎盘

中图分类号 R714.245 文献标识码 A 文章编号:1673-6273(2011)12-2335-03

## Expression of MiR-19a in Placentas From Women with Preeclampsia and Normal Pregnancy\*

WANG Gui-feng<sup>1</sup>, WANG Xiao-hong<sup>1</sup>, YIN Guo-wu<sup>1</sup>, ZHU Xiao-ming<sup>1</sup>, YAO Yuan-qing<sup>2△</sup>

(1 Department of Obstetrics and Gynecology, Tangdu Hospital, the Fourth Military Medical University, Xi'an 710038, China;

2 Department of Obstetrics and Gynecology 301 Hospital of PLA, Beijing 100039, China)

**ABSTRACT Objective:** To study the relationship of the pathogenesis of preeclampsia with miR-19a by measuring the expression of miR-19a in normal pregnancy and preeclampsia placenta. **Methods:** 10 cases of severe preeclampsia (experimental group) and 10 normal placenta maternal placenta (control) were collected, fluorescent Real-Time quantitative PCR method was used to detect the expression of miR-19a in two different groups. **Results:** miR-19a expression in patients with severe preeclampsia placenta increased significantly comparing with those in normal placenta. **Conclusion:** miR-19a expression increased significantly in preeclampsia placenta, and there exist an connection between high expression of miR-19a and the pathogenesis of preeclampsia.

**Key words:** Preeclampsia; MiRNA; Placenta

**Chinese Library Classification(CLC):** R714.245 **Document code:** A

**Article ID:**1673-6273(2011)12-2335-03

### 前言

微小 RNA (miRNA)是一类长 19-25nt 的小分子 RNA, 广泛存在于真核生物中, 是一组不编码蛋白质的单链 RNA, 在生物发育过程中发挥着包括早期发育、细胞分化、细胞凋亡、肿瘤生成等多方面的重要作用<sup>[1]</sup>。子痫前期(Preeclampsia)是妊娠期高血压疾病分类中最常见的一型, 严重影响母婴健康, 其病因及发病机制仍不清楚。Pineles BL 首次验证了在子痫前期(合并或不合并胎儿宫内发育迟缓)病人的胎盘中有特异的 miRNA 增强表达<sup>[2]</sup>。Hromadníková I 研究发现子痫前期患者外周血中也存在差异表达 miRNA, 并且指出差异表达的 miRNA 来源于胎盘<sup>[3]</sup>。本文采用荧光定量 RT-PCR 技术检测 miR-19a 在正常妊娠与子痫前期患者胎盘组织中的表达, 以探讨其在妊娠期高血压疾病发病中的作用。

### 1 材料与方法

#### 1.1 一般资料

参照乐杰主编的《妇产科学》第 6 版子痫前期诊断标准<sup>[4]</sup>, 选取 2009.10-2010.04 唐都医院妇产科行择期剖宫产重度子痫前期患者 10 例, 正常妊娠者 10 例。所有病例均为单胎妊娠, 未进入产程, 排除合并先心病、慢性高血压、慢性肾炎、糖尿病等妊娠合并症。重度子痫前期组和正常妊娠组临床资料比较差别无统计学意义( $P>0.05$ )(见表 1)。

表 1 患者临床特征

Table 1 Clinical Features

Clinical Features	Severe Preeclampsia (n=10)	Control (n=10)
Age (y)	28.1± 4.6	27.3± 3.1
Gestational age (wk)	37.5± 2.3	39.1± 1.8
Fetal weight (g)	2586± 350	3274± 358
Systolic blood pressure(mmHg)	158.6± 10.7	109.4± 8.7
Diastolic blood pressure(mmHg)	105.8± 6.7	71.5± 6.3
Urine protein(+)	2± 1	0

\* 基金项目 国家“973”项目基金(2007CB948102)资助

作者简介 王桂锋(1982-), 男, 硕士研究生, 主要研究方向: 妊高症发病的分子机制。电话: 15029979414,

E-mail: wangguifeng1982@126.com

△通讯作者 姚元庆 教授 E-mail: yqyao@hotmail.com

(收稿日期 2011-03-05 接受日期 2011-03-30)

## 1.2 方法

1.2.1 胎盘采集 胎盘娩出后立即剪取胎盘母面正中部位约1 cm<sup>3</sup>大小组织,剪取时避开钙化区及出血点,冲洗,放入冻存管,迅速放入液氮罐中,4小时后于-80℃冰箱中保存。

1.2.2 胎盘RNA提取 剪取100 mg作用胎盘组织,放入研钵中,倒入液氮研磨至粉末状,按照mirVana<sup>TM</sup> miRNA Isolation Kit(Ambion公司)说明书提取胎盘总RNA。

1.2.3 反转录 按照PrimeScript•RT reagent Kit(TAKARA公司)说明书,取50 ng总RNA为模板,以特异的has-miR-19a反转录引物进行反转录,引物为5'-GTCGTATCCAGTG C A G G GTCCGAGGTATTCGCCTGGATACGACTCAGTT-3'(北京奥科生物技术公司合成)。

1.2.4 实时荧光定量PCR用SYBR<sup>®</sup> Premix Ex Taq<sup>TM</sup> II (TAKARA公司)试剂和ABI PRISM 7500荧光定量PCR仪(Applied Biosystems公司)进行PCR扩增。has-miR-19a上游引物5'-ACGTGTGCAAATCTATGCAAAAC-3',下游引物5'-GT-GCAGGGTCCGAGGT-3',以管家基因U6做内参。按照试剂盒

说明书配制PCR反应液,反应体系为20 μl,PCR条件95℃30 s,95℃5 s,60℃34 s,95℃15 s,60℃60 s,95℃15 s,40个循环,每个样品设3个平行复孔,以无RNA酶的水作阴性对照。在实验结束后进行溶解曲线分析,以鉴定产物是否单一。

1.2.5 验证PCR产物 用3%琼脂糖凝胶,70 V电泳40分钟,紫外线扫描分析,观察扩增片段大小及特异性。

1.2.6 统计学分析 采用SPSS16.0统计软件进行统计学分析,研究结果以 $\bar{x} \pm s$ 表示,组间差异性用独立样本比较的秩和检验。

## 2 结果

### 2.1 产物特异性

每个用品的3个平行复孔间Ct差值均小于0.5,阴性对照均无阳性扩增,结果可靠。内参基因U6和目的基因miR-19a引物溶解曲线均仅一个峰,其峰点分别在81.3℃和80℃,峰形窄而尖(图1),说明扩增产物为单一片段,特异性好。

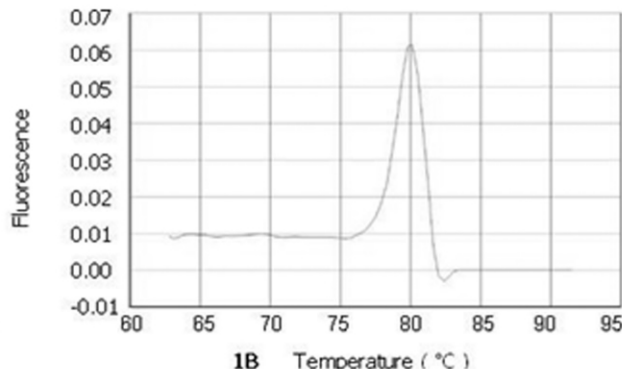
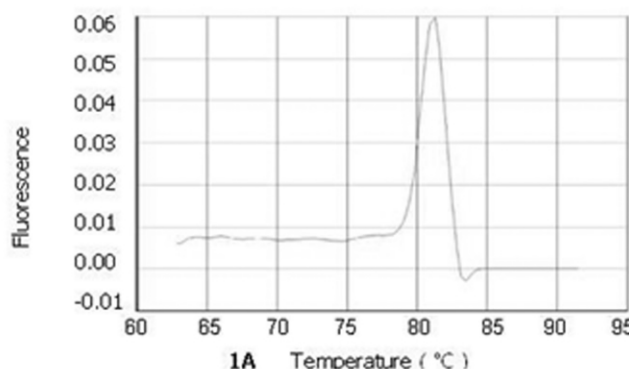


图1 实时荧光定量PCR引物溶解曲线 :1A 内参基因u6 ;1B miR-19a

Fig. 1 Real time PCR primer melting curve :1A internal reference gene U6 ;1B miR-19a

## 2.2 琼脂糖凝胶电泳结果

miRNA特异扩增产物大小为90bp,PCR产物经3%琼脂糖凝胶电泳后,miR-19a和U6在90bp处可见清晰电泳带,与理论值大小一致(图2)。

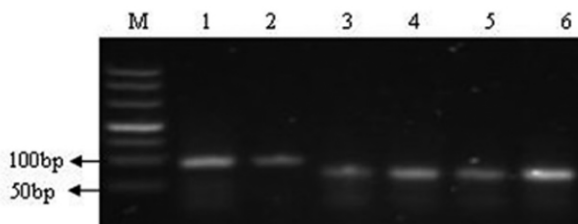


图2 实时荧光定量PCR产物质量检测 M:Marker 1:正常组U6;2:子痫前期组U6;3、5:正常组miR-19a;4、6:子痫前期组miR-19a

Fig.2 Real time PCR product M: Marker; 1:control U6; 2:

Preeclampsia U6;3,5: control miR-19a; 4,6: Preeclampsia miR-19a

## 2.3 miR-19a相对表达量

实时荧光定量PCR结果用比较Ct法( $2^{-\Delta\Delta Ct}$ 法)<sup>[5]</sup>进行分析,用内参U6的表达量进行归一化,计算公式: $\Delta Ct = Ct_{\text{目的基因}} - Ct_{\text{内参基因}}$ ;  $\Delta\Delta Ct = \Delta Ct_{\text{重度子痫前期组}} - \Delta Ct_{\text{正常妊娠组}}$ ; miR-19a相对表达量 $= 2^{-\Delta\Delta Ct}$ , miR-19a在重度子痫前期患者胎盘中表达增

高,表达量是正常妊娠胎盘的1.964倍(表2)。由于实验结果 $2^{-\Delta\Delta Ct}$ 值不符合正态分布,以两个独立样本秩和检验进行统计学分析,差异有统计学意义( $P<0.05$ )(图3)。

表2 miR-19a相对表达量

Table 2 Relative miR-19a level

	Severe Preeclampsia(n=10)	Control(n=10)
Ct	18.583± 0.427	21.318± 0.385
$\Delta Ct$	-1.014± 0.526	-0.041± 0.402
$\Delta\Delta Ct$	-0.974± 0.526	0± 0.402
Relative level	1.964(0.713-5.408)	1(0.461-2.168)

## 3 讨论

子痫前期-子痫是指妊娠20周以后出现的以高血压、蛋白尿为主要临床表现的一组临床症候群,在我国其发病率是9.4%。由于其可以引起严重的母儿并发症,是导致孕产妇和围生儿死亡的主要原因之一<sup>[6]</sup>。子痫前期的病因非常复杂,其病理根源在于胎盘,胎盘滋养细胞功能障碍是子痫前期一系列临床症状的基础<sup>[7]</sup>,主要与胎盘浅着床、胎盘缺氧、血管内皮的广泛

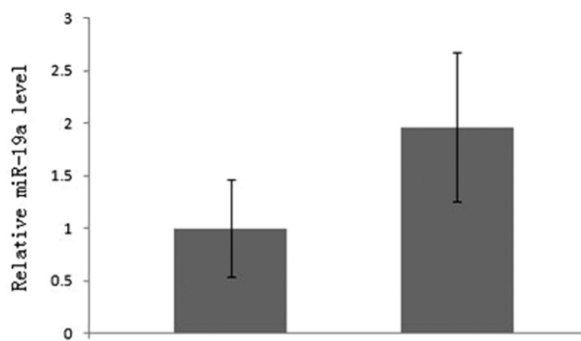


图 3 miR-19a 的相对表达量

Fig. 3 Relative miR-19a level

损伤、基因的遗传背景、母婴免疫失衡等因素有关。人类白细胞抗原 -G(HLA-G)是一种重要的免疫耐受分子,研究表明母胎界面的免疫耐受平衡主要通过 HLA-G 维持,子痫前期患者胎盘组织中 HLA-G 的表达缺陷可能导致母胎间产生免疫排斥反应,使滋养细胞浸润母体能力受损、胎盘浅着床<sup>[8]</sup>。胎盘浅着床使得滋养细胞缺血、缺氧,直接或间接损伤血管内皮,血管对缩血管物质敏感性增加,导致子痫前期的发病<sup>[9,10]</sup>。

微小 RNA (miRNA) 是一类长 19-25nt 的小分子非编码 RNA,其前体(pre-miRNA)约 70nt,在包质中在切酶(dicer)作用下产生成熟的 miRNA<sup>[11,12]</sup>。成熟的 miRNA 通过其 5' 端的 5~8 个核苷酸,识别并与靶 mRNA 3'-UTR 区(非翻译区)进行完全互补或不完全互补配对,引起靶 mRNA 的降解或翻译抑制,达到调控目的基因表达的作用<sup>[13]</sup>。miR-19a 位于 13q31 染色体,是 miR-17-92 簇成员,与发育及肿瘤发生有密切关系<sup>[14]</sup>。研究表明子痫前期患者胎盘中有特异的 miRNA 差异表达,本实验应用实时荧光定量 PCR 技术,成功检测重度子痫前期患者胎盘中 miR-19a 表达增高。有研究指出 HLA-G 3'-UTR 区 +3142 胞嘧啶 / 鸟嘌呤单核苷酸多态性位点<sup>[15]</sup>与特定的 miRNA 结合,诱导 HLA-G mRNA 降解或翻译抑制,调节转录后基因表达。HLA-G 3'-UTR 区 +3142 位点的鸟嘌呤增强 miR-19a 与 HLA-G mRNA 的结合力<sup>[16]</sup>。由此可见,子痫前期患者胎盘中高表达的 miR-19a 可能通过与 HLA-G 3'-UTR 区结合,抑制 HLA-G 表达,从而导致子痫前期的发生。

研究表明在缺氧条件下,miR-17-92 簇表达增高,miR-17-92 簇抑制内皮细胞生成<sup>[17]</sup>。此外,miR-19a 调节脐静脉内皮细胞细胞周期蛋白 D1 (cyclin D1) 表达,cyclin D1 是 miR-19a 在内皮细胞中的靶基因,其结合部位为 cyclin D1 基因 1778-1785 核苷酸位点,过表达的 miR-19a 下调 cyclin D1 的表达<sup>[12]</sup>。cyclin D1 基因是新近发现并被公认的原癌基因,定位于染色体 11q13,其编码的蛋白产物 cyclin D1 是细胞进入细胞周期合成的第一个细胞周期蛋白,主要在细胞周期 G1→S 关卡点中发挥正性调控作用,促进细胞增殖<sup>[18]</sup>。胎盘形成的关键特征是细胞滋养层细胞侵入螺旋动脉,子痫前期患者滋养层细胞侵入蜕膜功能减退,导致胎盘缺血缺氧,进而造成弥漫性血管内皮细胞损伤。内皮细胞损伤在子痫前期发病中发挥重要作用<sup>[19]</sup>,子痫前期患者胎盘缺血缺氧,miR-19a 表达增高,可能通过抑制 cyclin D1 表达,从而抑制内皮细胞增殖<sup>[20]</sup>,降低内皮细胞

损伤修复能力,参与子痫前期发病与发展。

本研究验证了 miR-19a 在重度子痫前期患者胎盘中表达增高,miR-19a 可能通过多种途径参与子痫前期的发病,但其功能及确切机制还需要进一步研究分析。

#### 参考文献(References)

- [1] Poy MN, Eliasson L, Krutzfeldt J, et al. A pancreatic islet-specific microRNA regulates insulin secretion [J]. Nature, 2004, 432:226-230
- [2] Pineles BL, Romero R, Montenegro D, et al. Distinct subsets of microRNAs are expressed differentially in the human placentas of patients with preeclampsia [J]. Obstet Gynecol, 2007, 196:261-266
- [3] Hromadníková I, Kotlaková K, Jirásek JE, et al. Detection of placenta-specific microRNAs in maternal circulation [J]. Ceska Gynekol, 2010, 75(3):252-256
- [4] 乐杰.妇产科学[M].第 6 版.北京:人民卫生出版社,2004, 99-104  
LE Jie. Obstetrics and Gynecology [M]. Edition 6th. Beijing: People's Health Publishing House Edition, 2004: 99-104
- [5] Livak KJ, Schmittgen TD. Analysis of relative gene expression data using real-time quantitative PCR and the 2 (-Delta Delta Ct) Method [J]. Methods, 2001, 25(4):402-408
- [6] Redman CW, Sargent IL. Latest advances in understanding preeclampsia [J]. Science, 2005, 308(5728): 1592-1594
- [7] Rigourd VT, Chelbi S, Vaiman D. Preeclampsia [J]. AM J Med Sci. 2008, 24(12):1017-1019
- [8] Hackmon R, Koifman A, Hyobo H, et al. Reduced third-trimester levels of soluble human leukocyte antigen G protein in severe preeclampsia [J]. Obstet Gynecol, 2007, 197(3):255-260
- [9] Coelho TM, Sass N, Camano L, et al. Microvessel density in the placental bed among preeclampsia patients [J]. Sao Paulo Med, 2006, 124(2): 96-100
- [10] Rodrigues RF, Carter AM, Ambrosio CE, et al. The subplacenta of the red-rumped agouti (Dasyprocta leporinaL) [J]. Reprod Biol Endocrinol, 2006, 4(1):31-36
- [11] Zeng Y, Yi R, Cullen BR. Recognition and cleavage of primary microRNA precursors by the nuclear processing enzyme Drosha [J]. EMBO J, 2005; 24: 138-148
- [12] Jiang F, Ye X, Liu X, et al. Dicer-1 and R3D1-L catalyze microRNA maturation in Drosophila [J]. Genes Dev, 2005, 19: 1674-1679
- [13] Zhao Y, Srivastava D. A developmental view of micro RNA function [J]. Trends Biochem Sci, 2007, 32(4):189-197
- [14] Koga Y, Yasunaga M, Takahashi A, et al. MicroRNA expression profiling of exfoliated colonocytes isolated from feces for colorectal cancer screening [J]. Cancer Prev Res (Phila), 2010, 3(11):1435-1442
- [15] Tan Z, Randall G, Fan J, et al. Allele-specific targeting of microRNAs to HLA-G and risk of asthma [J]. Hum Genet, 2007, 81: 829-834
- [16] Castelli EC, Moreau P, Oya e Chiromatz A, et al. In silico analysis of microRNAs targeting the HLA-G3'untranslated region alleles and haplotypes [J]. Hum Immunol, 2009, 70(12):1020-1025
- [17] Doebele C, Bonauer A, Fischer A, et al. Members of the microRNA-17-92 cluster exhibit a cell-intrinsic antiangiogenic function in endothelial cells [J]. Blood, 2010, 115(23):4944-4950

(下转第 2303 页)

(14.5%)、SCC3 例 (3.9%) , 说明 TCT 检查具有较高的检出率 ; TCT 检查阳性病例与宫颈活检诊断结果间的符合率为:SIL 符合率 44.4% (8/18) HSIL 符合率 81.8% (9/11) SCC 符合率 100.0% (4/4) ,说明 TCT 检查具有较高检出率的同时 ,也具有较高的符合率 ,同时 ,通过对比发现 ,HSIL 组、SCC 组与 LSIL 组符合率比较 ,差异具有统计学意义( $P < 0.05$ ) ,说明当 TCT 检查结果提示 HSIL 或 SCC 时 ,此结果具有很高的符合率 ,应引起临床医生的极高度重视。

#### 参考文献(References)

- [1] 郎景和.迎接子宫颈癌预防的全球挑战和机遇[J].中华妇产科杂志, 2002,37(3):129-131  
Lang Jin-he.Cervical cancer prevention to meet the global challenges and opportunities [J]. Chinese Journal of Obstetrics and Gynecology, 2002,37(3):129-131
- [2] 崔艳萍, 王文.ThinPrep 液基细胞学在宫颈癌筛查中的临床应用[J]. 赣南医学院学报,2006,26(2):186-188  
Cui Yan-ping,Wang-wen.Value of ThinPrep liquid-based cytology for the diagnosis of cervical cancer screening [J].Journal of Gannan Medical University,2006,26(2):186-188
- [3] 罗思红,罗晓红,段朝晖.薄层液基细胞学在宫颈癌筛查中的应用价值[J].中国卫生检验杂志,2007,17(8):1466-1467  
Luo Si-hong,Luo Xiao-hong,Duan Chao-hui.Value of ThinPrep cytological test for cervical carcinoma screening [J]. Chinese Journal of Health Laboratory Technology,2007,17(8):1466-1467
- [4] Solomon D,Darey D,Kurman R,et al.The 2001 Bethesda System: terminology for reporting results of cervical cytology [J]. JAMA, 2002,287(16):2114-2119
- [5] 杨德兴,杨文勇,许慧,等.薄层液基细胞学检测在宫颈病变诊断中的应用[J].肿瘤基础与临床,2009,22(6):529-530  
Yang De-xing,Yang Wen-yong,Xu-hui.Thin-layer liquid-based cytology in the diagnosis of cervical lesions [J].Journal of Basic and Clinical Oncology,2009,22(6):529-530
- [6] Setia N,Goulart RA,Leiman G,et al.Cytomorphology of cervicovaginal melanoma: ThinPrep versus conventional Papanicolaou tests [J]. Cytojournal,2010,31(7):25
- [7] Luu MH, Fischer AH, Pisharodi L,et al.Improved preoperative definitive diagnosis of papillary thyroid carcinoma in FNAs prepared with both ThinPrep and conventional smears compared with FNAs prepared with ThinPrep alone [J].Cancer Cytopathol,2011,119 (1): 68-73
- [8] 吴瑾,唐良萏.薄层液基细胞学技术与宫颈癌及癌前病变[J].重庆医学,2005,9(34):1425  
Wu-jing,Tang Liang-xian.TCT Technology in the cervical cancer and precancerous lesions[J].Chongqing Medicine,2005,9(34):1425
- [9] 赵艳梅,刘颖新,王洪英,等.液基薄层细胞学检查、HPV 检测筛查宫颈病变的价值[J].齐齐哈尔医学院学报, 2009,30(15):1832-1833  
Zhao Yan-mei,Liu Yin-xin,Wang Hong-ying,et al.The value of screening for cervical lesions by the ThinPrep cytology and HPV testing[J].Journal of Qiqihar Medical College,2009,30(15):1832-1833
- [10] Giorgadze T,Kanhene R,Pang C,et al.Small cell carcinoma of the cervix in liquid-based Pap test: Utilization of split-sample immunocytochemical and molecular analysis [J].Diagn Cytopathol, 2010,10(1):30-33
- [11] Castle PE,Bulten J,Confortini M,Klinkhamer P,et al.Age-specific patterns of unsatisfactory results for conventional Pap smears and liquid-based cytology: data from two randomised clinical trials [J]. BJOG,2010,117(9):1067-1073
- [12] Juric D,Mahovlic V,Rajhvajn S,Ovanin-Rakic A,et al.Liquid-based cytology--new possibilities in the diagnosis of cervical lesions[J].Coll Antropol,2010,34(1):19-24
- [13] Abulafia O,Pezzullo JC,Sheere DM.Performance of thinprep liquid-based cervical cytology in comparison with conventionally prepared Papanicolaou smears a quantitative survey[J].Gynecol Oncol,2003,90 (1):137
- [14] 常青.盆腔动脉结扎在产后出血的应用[J].中国应用妇科与产科杂志,2009,25(2):109  
Chang-qing.Application of pelvic artery ligation to treating postpartum hemorrhage [J]. Chinese Journal of Practical Gynecology and Obstetrics,2009,25(2):109
- [15] Setia N,Goulart RA,Leiman G,et al.Cytomorphology of cervicovaginal melanoma: ThinPrep versus conventional Papanicolaou tests[J]. Cytojournal,2010,31(7):25
- [16] Kenyon S, Sweeney BJ, Happel J,et al.Comparison of BD Surepath and ThinPrep Pap systems in the processing of mucus-rich specimens [J].Cancer Cytopathol,2010,118(5):244-249
- [17] Rossi ED,Morassi F,Santeusano G,et al.Thyroid fine needle aspiration cytology processed by ThinPrep: an additional slide decreased the number of inadequate results.[J].Cytopathology,2010,21(2):97-102
- [18] Benevolo M, Vocaturo A, Mottolese M,et al.Clinical role of p16INK4a expression in liquid-based cervical cytology: correlation with HPV testing and histologic diagnosis [J].Am J Clin Pathol,2008,129 (4):606-612

(上接第 2337 页)

- [18] Qin X, Wang X, Wang Y , et al. MicroRNA-19a mediates the suppressive effect of laminar flow on cyclin D1 expression in human umbilical vein endothelial cells [J]. Proc Natl Acad Sci USA, 2010,107(7):3240-3244
- [19] Collino F, Bussolati B, Gerbaudo E, et al. Preeclamptic sera induce

- nephrinshedding from podocytes through endothelin-1 release by endothelialglomerular cells [J]. Physiol Renal Physiol,294 (5): 1185-1194
- [20] Knudsen KE, Diehl JA, Haiman CA, et al. Cyclin D1: Polymorphism, aberrant splicing and cancer risk [J]. Oncogene, 2006, 25:1620-1628